

# II-147 南水路乱流のbursting現象とその特性

京都大学工学部 正員 祐津家久  
京都大学工学部 正員 中川博次

## 1° まえがき

1967年 Kline の可視化観測によって境界層流の壁面近傍に bursting 現象の存在することが明確にされ以来<sup>1)</sup>せん断乱流の本質と考えられる乱れ発生機構の解明はこの bursting 現象を明らかにすることであると認識されるようになり、近年この現象に関する研究が条件付点計測法及び可視化法の両面から精力的に行われ、注目すべき知見が得られるようになっている。

著者らも南水路乱流を対象として、この bursting 現象を条件付確率密度函数論によて瞬間 Reynolds 応力の構造と結びつけ、一連の bursting 過程を生起する ejection ( $u < 0, v > 0$ ), sweep ( $u > 0, v < 0$ ) 及び interaction ( $u > 0, v > 0$  及び  $u < 0, v < 0$ ) の各事象の関係を明確にした。<sup>2)</sup> この研究に引続いて本報告は、

bursting 現象の周期特性や空間スケールの特性を明らかにしようとするものである。

## 2° bursting 現象の周期特性

bursting 現象の平均周期に関する評価方法として可視化法及び条件付点計測法があり、後者では Rao らの方法<sup>3)</sup>や Kim らの自己相關法<sup>4)</sup>がまず挙げられる。これらの方法から得られた値は可視化法のものと同程度となるが、普通的方法ではないと Willmarth らは指摘し、新たに瞬間 Reynolds 応力の運動から bursting 周期を評価した。<sup>5)</sup>しかし、この方法でも bursting 周期は一義的には決定されず、図-3 に示すようにかなりのばらつきがあるから、ここではこれを若干改良する。

まず、図-1 は滑面南水路乱流で観測された ejection 事象ごとの瞬間 Reynolds 応力  $w \equiv uv/\bar{u}\bar{v}$  の変動を示す一例である（実験条件や計測方法に関することは文献（2）を参照）。  $w$  はパルス的な運動を示し、この発生周期  $\hat{T}_e$  を評価すればよいわけであるが、ejection 事象には ejection 運動のほかに interaction 運動を含むと考えられるから、 $\hat{T}_e$  から interaction 周期  $\hat{T}_{in}$  を消去する必要がある。<sup>6)</sup> Willmarth らは  $\hat{T}_e$  を  $w = H$  のレベルに対して図示したため、ejection 運動を示す判定基準がさらに必要となるが、図-2 に示すように  $(\hat{T}_e - \hat{T}_{in})$  は明確な最小値を示し、これに基づくレベル  $H$  以上では interaction 運動はほぼ消滅し、ejection 運動のみであることが明

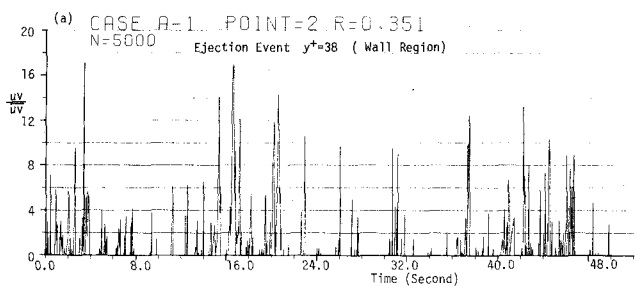


図-1 瞬間 Reynolds 応力  $w \equiv uv/\bar{u}\bar{v}$  の観測例

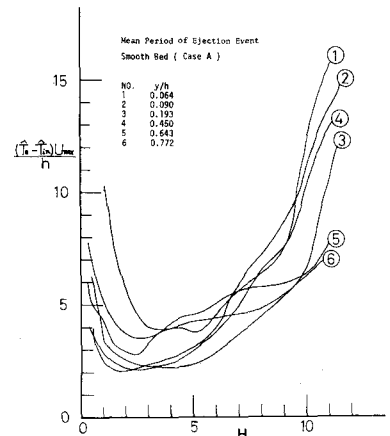


図-2  $(\hat{T}_e - \hat{T}_{in})U_{max}/h$  の分布

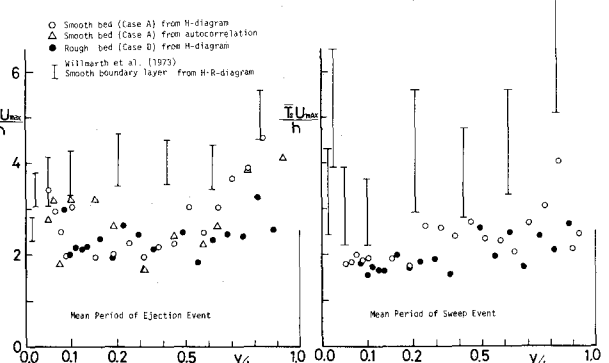


図-3 ejection 及び sweep の平均周期

らかにされた。<sup>2)</sup> したがって、この最小値をもつて ejection 運動の平均周期  $T_e$  と定義することには合理性がある。図-3は、このようにして得られた  $Re \approx 10^4$  での  $T_e$  を外部パラメータ（最大流速  $U_{max}$  及び水深  $h$ ）で無次元表示したものであり、同様にして sweep 周期  $T_s$  も評価され、図示された。  $y/h$  や壁面粗度にかかる  $T_e \approx T_s \approx (2 \sim 3)h/U_{max}$  であり、すなむら一つの bursting 現象には平均して一個の ejection 及び sweep 運動が存在し、この周期は外部パラメータで支配されることがわかる。この特性は境界層とも同様であり、極めて注目される。次に、この平均周期に対応するレベル  $w = H$  での個々の bursting 周期  $T_e$  や  $T_s$  の確率分布を Rao らの示唆に基づいて図-4 の対数正規確率紙に示した。図中の直線は対数正規分布であり、実測値はこれに良好に一致する。したがって、bursting 現象に伴う coherent な運動の流下方向の拡がりスケール入子は  $\lambda_3 \approx T_e \cdot (0.8 U_{max})$  であるから、 $y/h$  は対数正規分布に従い、しかもその平均値は一定であるといえる。

### 3° 高速・低速縞の発生間隔入子の特性

上述の coherent な運動の横断方向の拡がりスケールは Kline らのいう高速・低速縞の間隔入子と考えられる。<sup>1)</sup> 図-5 は水素泡法で得られた高速・低速縞を示す連続写真の例であり、これより容易に入子の特性を把握できる。図-6 は入子の平均値を内部パラメータ（摩擦速度  $u_*$  及び  $y/h$ ）で無次元表示した  $\lambda_3^+$  の結果である。bursting 現象が顕著な buffer 層以下では  $R_e = \frac{U_{max} h}{D}$  にあまりよらずに  $\lambda_3^+ \approx 100$  となり、境界層外流で得られた従来の結果と一致する。しかし、buffer 層以上では高速・低速縞が若干不明瞭となり  $\lambda_3^+$  も増大する。これは、 $y^+$  の増加と共に bursting 現象が弱まるためと推測されるが、自由水面上で観察される boiling 現象に伴う縞縞間隔  $\lambda_3^+ \approx 2R_e$  に近づくとも予想され、bursting と boiling 現象との関連性が示唆される。図-4 と同様にして、入子の確率分布が図-6 に示さるが、やはり対数正規分布に良好に従っている。

### 4° bursting 現象の二面構造性

以上の結果から、bursting 現象の空間スケールを表わす入子  $\lambda_3^+$  は共に対数正規分布を示すが、入子は外部パラメータに入子内部パラメータに主に支配されるという二面構造性の存在が示唆される。bursting 現象をカスクード過程での渦の発生・崩壊と関連づけ、これに self-similarity を仮定すれば対数正規性が説明できるが、この現象の二面構造性(あるいは物理構造)によるものか現象そのものか後の研究課題と考える。(参考文献) 1) Kline (1967) J.F.M. vol. 30  
2) Nakagawa (1977) J.F.M. vol. 80, 3) Rao (1971) J.F.M. vol. 48, 4) Kim (1971) J.F.M. vol. 150, 5) Willmarth (1973) J.F.M. vol. 60, 6) 中川 (1976) 水理講演会  
7) Hinze (1975) McGraw-Hill, 8) Gurvich (1967) Phys. Fluids

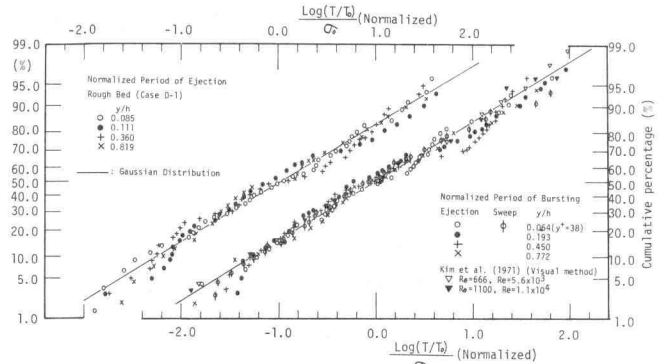
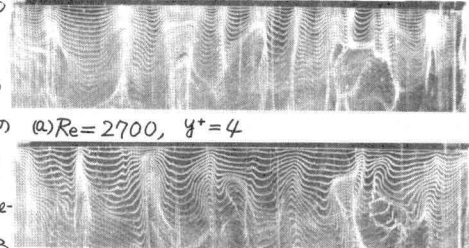
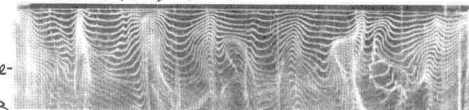


図-4 bursting 周期の確率分布特性



(a)  $Re = 2700, y^+ = 4$



(b)  $Re = 2700, y^+ = 10$

図-5 高速・低速縞の観測例

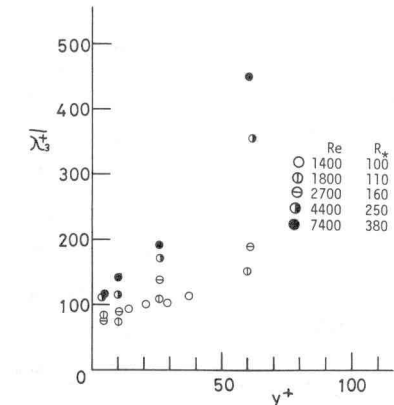


図-6 高速・低速縞の平均間隔  $\lambda_3^+$

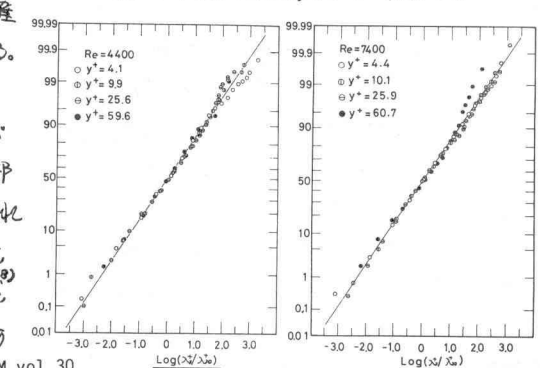


図-7 高速・低速縞間隔の確率分布特性